

همسانه سازی و تعیین خصوصیات ژن مسئول بیوستز اسید اروسیک در گیاه کلزا

علی‌رضا زبرجدی^{۱*}، مختار جلالی جواران^۲، علی هاتف سلمانیان^۳ و قاسم کریم‌زاده^۳

^۱ کرمانشاه، دانشگاه رازی، دانشکده کشاورزی، گروه زراعت و اصلاح نباتات

^۲ کرمانشاه، دانشگاه رازی، گروه پژوهشی بیوتکنولوژی تنشهای محیطی

^۳ تهران، دانشگاه تربیت مدرس، دانشکده کشاورزی، گروه اصلاح نباتات

^۴ تهران، پژوهشگاه ملی مهندسی ژنتیک و زیست فناوری، گروه زیست فناوری گیاهی

تاریخ پذیرش: ۸۷/۹/۲۶ تاریخ دریافت: ۸۷/۹/۳

چکیده

جنس براسیکا بر حسب میزان اسید اروسیک، به دو گروه عمده تقسیم می‌شود: گروه اوئل دارای مقادیر زیاد اسید اروسیک و دسته دوم دارای مقادیر کم اسید اروسیک هستند. رونگهای دارای مقادیر بالای اسید اروسیک برای مصارف مختلف صنعتی و واریته‌هایی با قدرت تولید مقادیر کم اسید اروسیک برای مصارف خوراکی مطلوب می‌باشند. در این تحقیق جداسازی ژن و راه‌انداز اختصاصی مسئول بیوستز آنزیم (KCS) β -ketoacyl-CoA synthase (KCS) از منبع PCR از منع DNA ژنومی اقدام گیاه کلزا مورد بررسی قرار گرفت. بدین منظور دو جفت آغازگر طراحی و با استفاده از تکنیک PCR از منع DNA ژنومی اقدام به جداسازی ژن و راه‌انداز گردید. ژن و راه‌انداز ابتدا در ناقل عمومی pSK⁺ همسانه‌سازی و پس از تعیین توالی و تأیید نهایی، در پلاسمید بیانی گیاهی (pBI121) همسانه‌سازی شدند. پلاسمید حاوی ساختار دست ورزی شده به واسطه مشاهده گردید که در آن میزان اسید چرب C22:1 به حدود ۱۳ درصد نسبت به ۱ درصد در گیاه شاهد رسید.

واژه‌های کلیدی: کلزا، همسانه‌سازی ژن fae، انتقال ژن، اسید اروسیک، آنزیم KCS

* نویسنده مسئول، تلفن تماس: ۰۹۱۸۱۳۲۱۸۰۹، پست الکترونیکی: Zebarjadiali@yahoo.com

مقدمه

افزایش یافت و به یکی از مهم ترین منابع روغن نباتی تبدیل شده است (۹). از جمله روشهای بهبود کیفیت روغن کلزا، تغییر در ترکیب اسیدهای چرب تشکیل دهنده آن می‌باشد. ساخته شدن زنجیره‌های طویل اسیدهای چرب اشیاع و غیراشیاع دارای مراحل مختلفی می‌باشد که هر یک از این مراحل توسط آنزیمهای متعدد کنترل می‌شود (۱). بیوستز اسید چرب یک مسیر متابولیکی اولیه

یکی از مهمترین گیاهان تامین کننده روغن در دنیا کلزا با نام علمی *Brassica napus L.* می‌باشد (۳). کلزا با تامین ۱۴/۷ درصد روغن مورد نیاز جهان پس از نخل روغنی و سویا در مقام سوم قرار دارد. در سالهای اخیر گیاه کلزا در سطح جهانی به عنوان یکی از مهمترین نباتات روغنی مورد توجه قرار گرفته است. تولید روغن از جنس براسیکا که عموماً با نام کلزا شناخته می‌شوند از سه دهه قبل در دنیا

نظر نیز افزایش یابد. استراتژی دیگر که به خاموش کردن ژن معروف است، مبتنی بر بیان توالی غیر همسوی ژن می‌باشد. در این روش با وارد کردن یک ژن در جهت مخالف می‌توان یک مولکول anti-mRNA به دست آورد که به دلیل همولوژی با زنجیر mRNA که به طور طبیعی توسط کلزا تولید می‌شود تشکیل RNA دو رشته‌ای داده و این امر باعث تجزیه شدن mRNA و anti-RNA می‌شود (۲۰ و ۲۸). نتیجه این استراتژی کاهش در رونوشت و درنهایت محصول ژن مورد نظر می‌باشد.

علاوه بر روش‌های کلاسیک و متداول که به منظور تغییر در مقدار اسیدهای چرب در کلزا وجود دارد، امروزه می‌توان با استفاده از تکنیک‌های نوین، همچون مهندسی ژنتیک نیز به این امر نائل شد. آنزیم (KCS)- β -ketoacyl-CoA synthase که آنزیم کلیدی در ساخته‌شدن اسید Fatty Acid Elongase اروسیک می‌باشد، توسط ژن FAE در مرحله توسعه (FAE) کد می‌شود (۲۱). بیان ژن FAE در مرحله توسعه جنیسی گیاه صورت می‌گیرد. لذا جداسازی را انداز (Promoter) اختصاصی این ژن که می‌تواند کنترل طبیعی آن را فراهم آورد نیز ضروری می‌باشد. طراحی آغازگر، FAE جداسازی و همسانه‌سازی ژن و را انداز اختصاصی از گیاه کلزا و تهیه ساختار همسو از این قطعات، انتقال به گیاه کلزا و ارزیابی اثرات آن از مهمترین اهداف این تحقیق می‌باشد.

مواد و روشها

مواد آزمایشی: از رقم Maplus کلزا با محتوای اسید اروسیک زیاد (High Erucic Acid Rapeseed) تهیه شده از کشور آلمان به عنوان منع DNA ژنومی استفاده شد و رقم PF (تهیه شده از مؤسسه تحقیقات اصلاح و تهیه نهال و بذر) که یک رقم بهاره می‌باشد جهت تاریخی مورد استفاده قرار گرفت. از باکتری *E. coli* سویه DH5α برای *Agrobacterium* مراحل مختلف همسانه‌سازی و از *tumefaciens* برای تاریخی گیاه و ناقلهای LBA4404 می‌شود.

است که برای رشد و توسعه بذر ضروری می‌باشد. این مسیر تا مرحله ساخته‌شدن اسیدهای چرب C18 در پلاستیک‌ها و توسط یک مجموعه چند آنزیمی انجام می‌شود (۱۶، ۱۷ و ۳۷). اسیدهای چرب C16 و C18 اجزاء عمده آسیل گلیسرول‌های ذخیره‌ای بذر را تشکیل می‌دهند (۲۸ و ۳۲). در بسیاری از گیاهان عالی مانند گونه‌های برآسیکا اسیدهای چرب دارای زنجیره‌های بسیار بلند (Very Long Chain Fatty Acids) و تعداد اتم‌های کربن بیشتر از ۱۸، مانند ایکوسانوئیک اسید (C20:1) و اسید اروسیک (C22:1) تولید می‌شود. این ترکیبات به عنوان پیش نیاز لایه‌های سطحی کوتینها و واکسها هستند (۴۰ و ۴۲). روغن‌های دارای میزان بالای اسید اروسیک کاربردهای گسترده صنعتی دارند (۲۹ و ۳۲). بررسیهای زیادی برای تغییر مسیر بیوستر اسیدهای چرب به منظور رسیدن به ترکیبات مناسب اسیدهای چرب روغن انجام شده است (۱۲ و ۴۱).

تغییراتی که در کیفیت روغن و کنجاله کلزا ایجاد شده منجر به شناسایی روغن این نبات به عنوان روغن برتر در مصارف خوارکی و کنجاله آن به عنوان یک منع مهم پروتئین برای تغذیه دام گردیده است. سطح پایین اسیدهای چرب اشباع و سطح نسبتاً بالای اسیدهای چرب با یک باند غیر اشباع، بدون شک از عوامل اصلی مؤثر بودن روغن کلزا در کاهش کلسترون به شمار می‌رود (۴). در خصوص دانه‌های روغنی، بهبود کیفیت روغن به عنوان یک صفت مهم مد نظر است. کیفیت روغن در کلزا بر اساس نسبت اسیدهای چرب تشکیل دهنده آن تعیین می‌گردد. از جمله اسیدهای چرب تأثیر گذار بر کیفیت روغن در کلزا اسید اروسیک می‌باشد. محققین برای تغییر در ترکیب روغن، دو استراتژی را مورد استفاده قرار می‌دهند (۲۲) در استراتژی افزایش میزان بیان ژن با وارد کردن ژن یا ژنهای مورد نظر به درون گیاه می‌توان باعث بیان ژنهایی شد که قبل از گیاه وجود ندارند و یا باعث افزایش بیان ژنهای موجود در گیاه می‌شود. در این حالت انتظار می‌رود که محصول ژن مورد

قدرت اصلاح اشتباه است برای جداسازی و تکثیر ژن و راهانداز استفاده شد.

همسانه سازی راهانداز و ژن در پلاسمید pSK⁺: پس از تکثیر و تأیید اولیه راه انداز و ژن تکثیر شده (از طریق اندازه باند حاصل از PCR و هضم آنزیمی با آنزیمهای pBluescript II SK⁺، محصولات PCR در پلاسمید *Cfr9I* و *HindIII* داده شد و در دو واکنش جداگانه در ناقل pSK⁺ که با همین آنزیمهها بریده شده بود، همسانه سازی گردید. پلاسمیدهای نوترکیب به سلولهای مستعد باکتری *E. coli* (DH5α) منتقل شد. جهت انتخاب اولیه، باکتریهای حاوی پلاسمید نوترکیب روی محیط مک کانکی آگار (Mac- Conkey) حاوی آمبی سیلین (۵۰ میکرو گرم بر میلی لیتر) کشت گردیدند (۳۱).

از کلونیهای سفید رنگ رشد یافته روی محیط فوق، کشت شبانه در محیط مایع LB حاوی ۵۰ میکرو گرم بر میلی لیتر آمبی سیلین تهیه و استخراج پلاسمید به روش لیز قلیایی انجام شد (۳۵). حضور قطعات در پلاسمید با هضم آنزیمی و واکنش PCR با آغازگرهای اختصاصی تأیید گردید.

تهیه ساختار همسو (Sense) با استفاده از ژن و راهانداز اختصاصی FAE جداسازی شده : با توجه به اینکه از باکتری اگروبکتریوم (*Agrobacterium tumefaciens*) جهت تراریزیش گیاه کلزا استفاده شد، لذا ساختار همسو در ناقل بیانی pBI121 همسانه سازی شد. در این سازه ژنی، ژن FAE در جهت مستقیم در جلوی راهانداز اختصاصی خود همسانه سازی گردید. با توجه به نقشه های برشی که از ژن، راهانداز و پلاسمید pBI121 در دسترس است، ساختار مورد نظر طی دو مرحله جداگانه تهیه گردید. در مرحله اول راهانداز FAE به جای راهانداز CaMV 35S در pBI121 همسانه سازی شد. برای این منظور هضم دو گانه

pBI121 و pSK⁺ نیز به ترتیب برای همسانه سازی های عمومی و انتقال ژن به گیاه استفاده گردید. باکتریها و پلاسمیدهای فوق از پژوهشگاه ملی تحقیقات مهندسی Maplus ژنتیک و زیست فناوری تهیه شدند. بذور رقم (دمای ۲۵ درجه سانتی گراد با دوره نوری ۱۶ ساعت روشنایی و ۸ ساعت تاریکی) نگهداری شدند. پس از حدود یک ماه از گیاهان ۶-۴ برگی برای استخراج DNA با روش استاندارد استفاده شد (۱۰).

طراحی آغازگر : آغازگرهای پیشرو (Forward) و پسرو (Reverse) به منظور جداسازی راهانداز (P1, P2) و ژن (P3, P4) به شرح زیر براساس شماره دسترسی آنها (با شماره دسترسی AF275254 برای راهانداز و AF274750 برای ژن) با جایگاههای آنزیمی (در بالا دست آغازگرها)، متناسب با پلاسمیدهای مورد استفاده، توالی ژن و راهانداز طراحی و مورد استفاده قرار گرفتند.

P1(forward): 5'-CCCAAGCTTACAACGATACACAAAAC TT
(29mer) *Hin* *HI*

P2 (reverse): 5'-GGACCCCGGGTGCTCAGTGTGTGT
(25 mer) *Cfr9I*

P3 (forward): 5'-CACCCCGGG ATGACGTCCGTTAACGT
(26 mer) *Cfr9I* رمز شروع

P4(reverse): 5'-CAGAGCT CTTAGGACCGACCGTTTGGA
(29 mer) *SacI*

جداسازی و تعیین توالی راهانداز و ژن FAE : به منظور جداسازی راهانداز و ژن از واکنش زنجیره ای پلیمراز (PCR) با استفاده از آغازگرهای P1 و P2 (برای تکثیر راهانداز) و P3 و P4 (برای تکثیر ژن) استفاده شد. بهینه سازی شرایط تکثیر با انجام تغییرات در غلظت های DNA (۳۰)، غلظت یون Mg^{2+} و دمای اتصال آغازگر با رشته الگو صورت گرفت. در مرحله اول آزمایش از آنزیم تگ پلیمراز (Taq DNA polymerase) و پس از بهینه سازی سیستم از آنزیم پی اف یو پلیمراز (pfu polymerase) که دارای

گیاهچه‌های ۵ روزه جدا و پس از حذف مریستم انتهایی روی محیط کشت MS حاوی ۴/۵ میلی‌گرم در لیتر هورمون ۶-بنزیل آمینوپورین (BAP) قرار گرفتند و به مدت ۲۴ ساعت (به عنوان پیش‌کشت) در شرایط کنترل شده فوق نگهداری شدند. به منظور ترازیخت نمودن ریزنمونه‌ها، از اگروباکتریوم حاوی ساختار مورد نظر استفاده شد. برای این منظور کشت شباهه باکتریهای مورد نظر (حامل پلاسمید نوترکیب) در ۲۵۰ دور در دقیقه به مدت ۱۰ دقیقه سانتریفیوز شدند. رسوب باکتریهای در محیط آلوده‌سازی (Infection medium) به حالت سوسپانسیون در آمدند و دمبرگهای کوتیلدونهای پیش تیمار شده به مدت ۱۰ ثانیه در محیط فوق قرار داده شد. سپس کوتیلدونهای پیش تیمار شده به محیط هم‌کشتی (Co-cultivation) که فاقد آنتی بیوتیک می‌باشد منتقل و به مدت دو روز در تاریکی و دمای ۲۵ درجه سانتی گراد قرار داده شدند. آنگاه به محیط القای شاخساره (Shoot induction medium) (محیط MS حاوی ۴/۵ میلی‌گرم در لیتر هورمون بنزیل آدنین، ۱۰ میلی‌گرم در لیتر کاتامایسین و ۲۰۰ میلی‌گرم در لیتر سفووتاکسیم) منتقل و هر دو هفتنه یک بار بروی همان محیط واکشت شدند. پس از ۶ هفتنه نوشاخه‌های سبز تولید شده روی محیط انتخاب‌گر جدا و به محیط طویل شدن ساقه (محیط القای شاخساره حاوی ۲۵ میلی‌گرم در لیتر کاتامایسین) که فاقد هورمون بود منتقل و هر دو هفتنه یکبار واکشت شدند. سپس شاخه‌های طویل شده به محیط القای ریشه (محیط MS حاوی ۲ میلی‌گرم در لیتر هورمون ایندول بوتیریک اسید) منتقل شدند. گیاهچه‌های جوان ترازیخت پس از ریشه‌دار شدن به گلدانهای کوچک حاوی ماسه، ورمیکولیت و پرلیت (به نسبت ۲:۱:۱) منتقل و در شرایط کنترل شده از نظر میزان رطوبت و درجه حرارت نگهداری شدند.

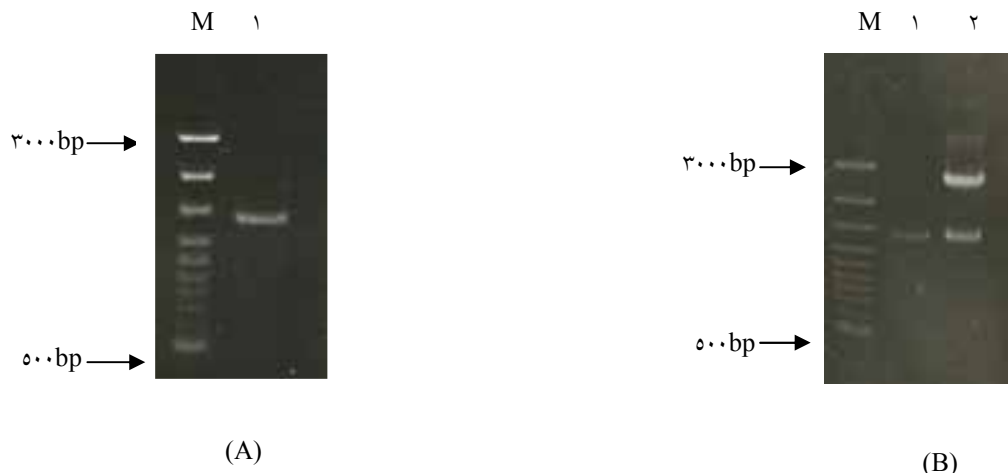
تجزیه و بررسی گیاهان ترازیخت با استفاده از PCR : در اولین مرحله، گیاهان ترازیخت توسط PCR با آغازگرهای اختصاصی ارزیابی شدند. آغازگر رفتی

pSK⁺ حاوی قطعه راه انداز (۱۴۳۲ جفت بازی) توسط آنزیمهای برشی Cfr9I و HindIII انجام شد. این (PCR clean-up Gel extraction) قطعه توسط کیت (PCR) شرکت MN از ژل خالص‌سازی گردید. هم زمان هضم آنزیمی پلاسمید بیانی pBI121 که حاوی ژن gus و راه انداز CaMV 35S می‌باشد توسط آنزیمهای مشابه (HindIII - Cfr9I) صورت گرفت که نتیجه آن جداسازی راه انداز CaMV 35S از پلاسمید است. در نهایت اتصال pBI121 بین قطعه ۱۴۳۲ جفت بازی و باقیمانده پلاسمید pBI121 انجام شد و محصول نهایی به باکتری *E. coli* مستعد منتقل گردید. جهت تأیید و اثبات همسانه‌سازی راهانداز در پلاسمید از روش PCR و هضم آنزیمی استفاده شد. در نهایت همسانه‌های مثبت که حاوی پلاسمید نوترکیب بودند انتخاب و پس از اطمینان از همسانه‌سازی راهانداز در پلاسمید pBI121، مرحله دوم همسانه‌سازی یعنی جایگزین کردن ژن FAE به جای ژن gus در این پلاسمید نوترکیب انجام شد. برای این منظور ژن تکثیر شده و پلاسمید نوترکیب به طور جداگانه تحت تأثیر آنزیمهای SacI و Cfr9I قرار گرفتند. این هضم در پلاسمید باعث جداسازی ژن GUS گردید که در نهایت با اتصال بین ژن FAE هضم شده و پلاسمید فاقد ژن gus، سازه همسو حاصل گردید. پلاسمید نوترکیب پس از تأیید به روش PCR و هضم آنزیمی با استفاده از روش انجماد و ذوب کردن به باکتری *A. tumefaciens* سویه LBA4404 منتقل گردید.

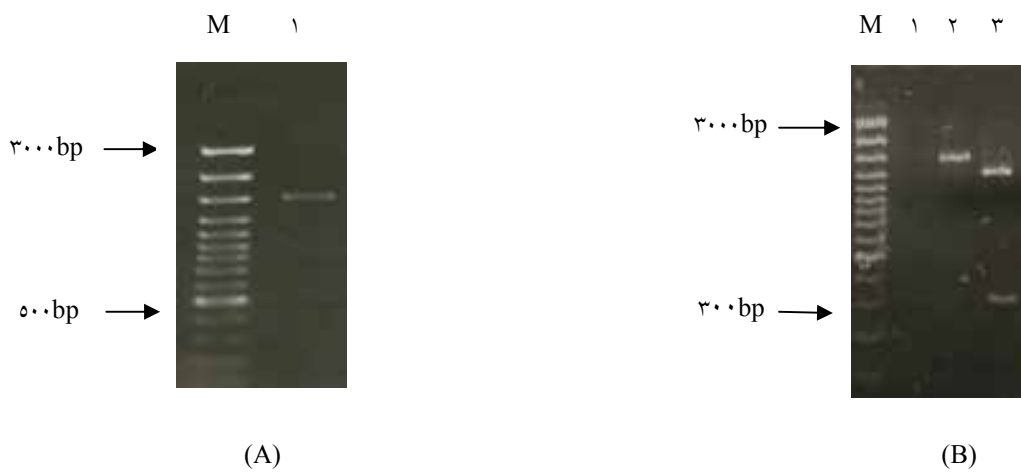
انتقال سازه تهیه شده به گیاه کلزا: آماده سازی بذور و ترازیختی گیاه کلزا به روش تغییر یافته مولونی و همکاران (۲۶) انجام شد. بر این اساس بذور رقم کلزا PF پس از سترونی سطحی با هیپوکلریت سدیم ۱/۵ درصد به محیط جوانه‌زنی (محیط کشت MS با ۳۰ گرم در لیتر ساکارز و ۸ گرم در لیتر آگار) با pH ۵/۸ متنقل و در شرایط کنترل شده ۱۶ ساعت روشنایی، ۸ ساعت تاریکی و دمای ۲۵ درجه سانتی گراد نگهداری شدند. برگهای لپهای از

بخشی از خاتمه دهنده Nos (Nos terminator) طراحی شده است، برای این منظور مورد استفاده قرار گرفتند.

ژن مورد نظر طراحی شده است و آغازگر برگشتی با ترادف S1:5'-ATTTACGCTGGTGATAATAGGTC که از داخل



(A) *FAE* حاوی راه انداز به کمک PCR و هضم آنزیمی پلاسمید حاوی راه انداز *FAE* قطعه تکثیر شده ۱۴۳۲ جفت بازی مربوط به راه انداز *FAE* (ستون ۱)، **(B)** واکنش PCR بر روی پلاسمید نوترکیب *FAE* حاوی قطعه ۱۴۳۲ جفت بازی با استفاده از آغازگرهای P1 و P2 (ستون ۱) و هضم اختصاصی آن توسط آنزیمهای *Cfr9I* و *HindIII* (ستون ۲) و M = مارکر ۱۰۰ جفت بازی.



شکل ۲- تکثیر و هضم آنزیمی ژن **FAE**: ژن ۱۵۲۱ جفت بازی تکثیر شده با PCR (ستون ۱)، B: کنترل منفی واکنش (فاقد الگو) (ستون ۱)، کلونی PCR بر روی پلاسمید حاوی قطعه ۱۵۲۱ جفت بازی با استفاده از آغازگرهای P3 و P4 (ستون ۲)، الگوی هضم آنزیمی ژن با آنزیم EcoRV (ستون ۳) آنزیم EcoRV ژن را در یک محل بربدیده و تولید قطعاتی به طول ۱۱۹۰ و ۳۳۱ جفت باز می کند، M = مارکر ۱۰۰ جفت بازی.

تزریق گردید. با مشاهده پیک مربوط به هر اسیدچرب و با استفاده از زمان خروج هر پیک ، اسیدهای چرب موجود در نمونه‌ها شناسایی و درصد آنها تعیین گردید.

نتایج و بحث

جداسازی راهانداز و ژن fae با استفاده از روش PCR: پس از بهینه‌سازی شرایط PCR، قطعه DNA تکثیر شده مربوط به راهانداز (۱۴۳۲ جفت باز) (شکل ۱) و قطعه مربوط به ژن fae (۱۵۲۱ جفت باز) (شکل ۲) تکثیر گردید.

تجزیه و تحلیل راهانداز و ژن جداسازی شده با آنزیمهای برشی: تجزیه آنزیمی توسط آنزیمهای برشی EcoRI و XbaI برای راهانداز انجام شد. با توجه به نقشه برشی به دست آمده از راهانداز توسط نرم افزار Webcutter2 از آنزیمهای فوق برای هضم آنزیمی استفاده شد. الکتروفوروز محصولات به دست آمده از هضم آنزیمی توسط هر دو آنزیم برشی تکثیر صحیح قطعه را تأیید نمود. برای هضم ژن fae از آنزیمهای HindIII و EcoRV استفاده شد. کترل قطعات به دست آمده بر روی ژل آگارز ۱ درصد دلیلی بر صحت تکثیر قطعه تولید شده دارد (شکل ۲-۱). همسانه‌سازی قطعات در ناقل pSK⁺ توسط هضم آنزیمی و واکنش زنجیره‌ای پلیمراز تأیید شد (شکل ۲-۲). همسانه‌های حاوی قطعات مناسب جهت تعیین توالی مورد استفاده قرار گرفت.

نتایج تعیین توالی و انجام تجزیه آن (BLAST) صحت قطعات تکثیر شده را اثبات نمود (۲).

تهیه و بررسی ساختار راه انداز و ژن در ناقل بیانی pBI121: چون این سازه ژنی طی دو مرحله تهیه گردید، در مرحله اول همسانه‌سازی راهانداز در ناقل انجام شده و صحیح بودن آن اثبات گردید.

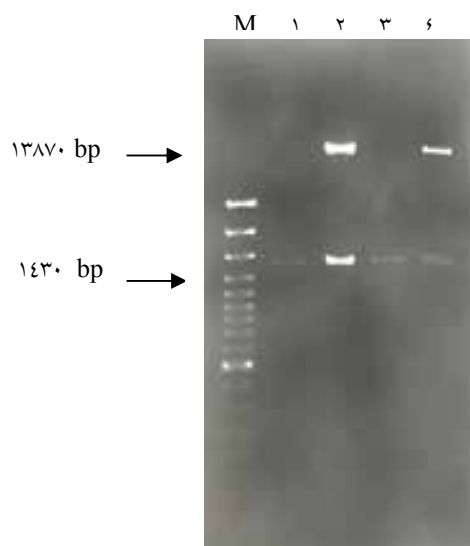
تجزیه لکه گذاری نقطه‌ای (Dot Blotting): به منظور حصول اطمینان از حضور ساختار منتقل شده به گیاهان تاریخت، پس از استخراج DNA از ژنومی از گیاهان تاریخت احتمالی، مبادرت به انجام لکه گذاری نقطه‌ای DNA شد (۳۵). برای این منظور ابتدا کاوشگر مناسب به PCR DIG Probe روش PCR با استفاده از کیت Synthesis Kit مربوط به شرکت Roche آلمان تهیه شد. آغازگرهای مورد استفاده برای تکثیر همان آغازگرهای S1 و N2 بود. کاوشگر تولید شده قطعه‌ای به طول ۹۹۶ جفت باز است که حدود ۷۵۸ جفت باز از داخل ژن و ۲۳۸ جفت باز از بخش خاتمه دهنده Nos را شامل می‌شود.

هیبریداسیون سادرن (Southern Blotting): روش سادرن به منظور اثبات انتقال ژن و همچنین تعیین تعداد نسخه‌های ژن منتقل شده مورد استفاده قرار گرفت. مقدار ۱۵ میکروگرم از DNA ژنومی گیاهان تاریخت توسط آنزیم برشی EcoRV به طور کامل هضم و سپس قطعات حاصله روی ژل آگارز ۰/۸ درصد از هم تفکیک شدند. سپس DNA، واسرشت شده و از ژل به غشاء نایلونی با شارژ مثبت شده منتقل شد. ابتدا بر روی سپس ثابت و سپس با کاوشگر تهیه شده، مجاور گردید و در نهایت باندهای پیوند شده با نشانگر به وسیله سیستم رنگ زا آشکار گردید (۳۵). شرایط دورگه‌سازی سادرن نیز با تغییر در غلظت بافرهای شیستشو و دمای هیبریداسیون بهینه گردید.

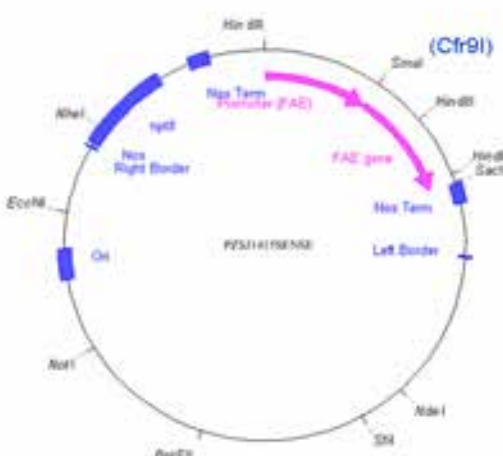
اندازه‌گیری میزان اسیدهای چرب در بذور گیاهان تاریخت: به منظور بررسی میزان تغییر در اسیدهای چرب گیاهان تاریخت اقدام به اندازه‌گیری درصد اسیدهای چرب موجود در روغن دانه به روش کروماتوگرافی گازی شد. برای این منظور ابتدا از بذور، چربی استخراج و سپس عمل مشتق سازی و متیله کردن اسیدهای چرب در نمونه‌های روغن به روش متکالف و همکاران، ۱۹۹۶ انجام شد (۲۴). مقدار ۰/۲۰ میکرولیتر از هر نمونه به دستگاه

بازی را تأیید نمود. همچنین با استفاده از هضم اختصاصی پلاسمید هاید نوترکیب توسط آنزیمهای *HindIII* و *Cfr9I* این ساختار مورد تجزیه و تحلیل قرار گرفت که نتایج به دست آمده دال بر صحت همسانه‌سازی راهانداز در ناقل *pBI121* می‌باشد (شکل-۳). پس از اطمینان از صحت مرحله اول همسانه‌سازی، شکل نهایی پلاسمید پیش‌بینی گردید تا آنالیز‌های بعدی با سهولت انجام پذیرد. شکل شماتیک ساختار همسو تهیه شده تحت کنترل راه انداز *fae* در شکل ۴ ارائه شده است. برای این منظور، PCR بروی همسانه‌های مشکوک توسط آغازگرهای اختصاصی *P1* و *P4* انجام شد. وجود قطعه حدود ۳۰۰۰ جفت بازی دال بر همسانه‌سازی راه انداز و ژن *fae* در جهت مستقیم در این همسانه‌ها می‌باشد. از طرف دیگر پس از استخراج پلاسمید از همسانه‌های انتخاب شده در مرحله قبل اقدام به هضم آنها با آنزیم *HindIII* شد. در صورتی که سه قطعه با طولهای تقریبی ۸۱۰، ۱۲۱۰ و ۲۱۰۰ جفت بازی ایجاد شود، همسانه سازی با موفقیت انجام گرفته است. (داده‌ها به نمایش در نیامده است).

به منظور بررسی اثر ساختار همسو بر تولید اسید اروپسیک در بذور توسعه یافته گیاهان کلزا تاریخت، ساختار تهیه شده که در ناحیه T-DNA ناقل *pBI121* بیانی شده که در ناحیه همسانه‌سازی شده بود توسط باکتری اگروباكتریوم (به روش گزارش شده توسط مولونی و همکاران، ۱۹۸۹) به گیاه کلزا منتقل شد (۲۶). گیاهان بازیابی شده از کوتیلدون‌های کشت شده که روی محیط حاوی ۲۵ میلی-گرم در لیتر کاناکانامیسین زنده مانده و رشد کردند (شکلهای ۵ و ۶). پس از سازگاری تدریجی، این گیاهان به گلخانه منتقل شدند. با وجود رشد گیاهان حاصله بر روی محیط حاوی کاناکانامیسین که می‌تواند دلیلی بر تاریختی آنها باشد، بررسیهای مولکولی بیشتر برای اثبات تاریخت بودن گیاهان لازم است.

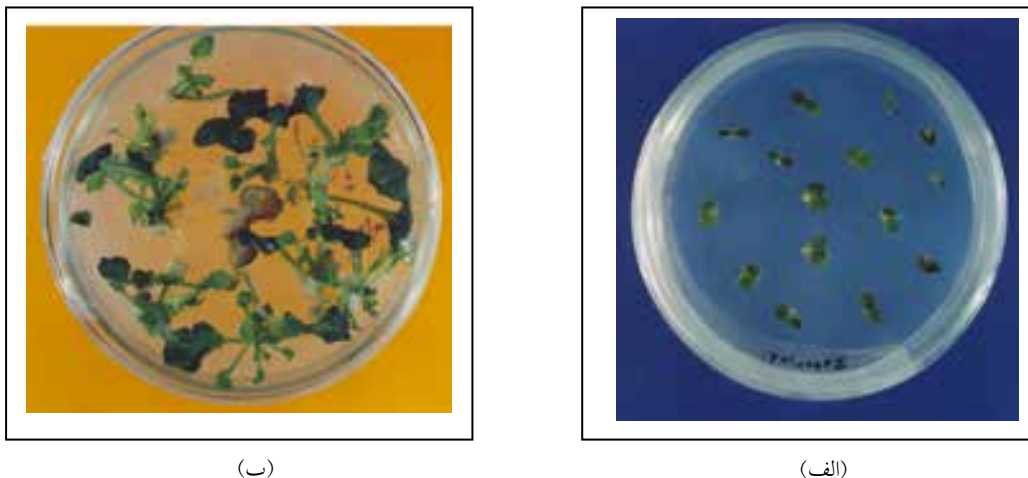


شکل ۳ - نتایج حاصل از PCR کلئی باکتریهای حاوی پلاسمید *pBI121* نوترکیب و هضم آنزیمی آن. خط M: مارکر مولکولی ۱۰۰ جفت بازی. خط ۱ و ۳: تائید کلونی‌ها توسط روش PCR و تولید قطعه ۱۴۳۰ جفت بازی. خط ۲ و ۴: هضم آنزیمی پلاسمید *pBI121* نوترکیب حاوی قطعه پیشبرنده توسط *Cfr9I* و *HindIII* (قطعات ۱۴۳۲ و ۱۳۸۷۰ جفت بازی ایجاد شده).

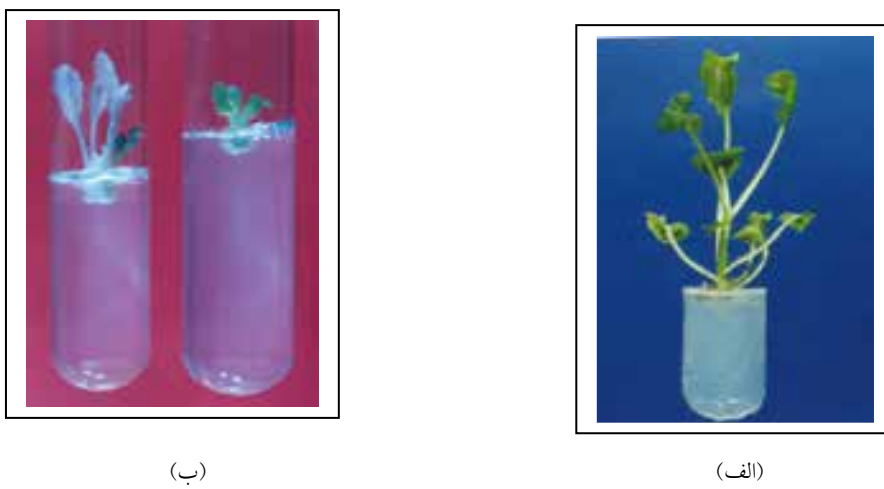


شکل ۴ - شماتیک از راهانداز و ژن همسانه سازی شده در پلاسمید **pBI121**. راه انداز ژن *fae* به جای راهانداز *CaMV35S* و به جای ژن *gus* ژن *fae* در جهت مستقیم و به خای ژن *gus* همسانه سازی شده است.

برای این منظور بر روی همسانه‌های رشد یافته در محیط کشت جامد، حاوی آنتی بیو تیک کاناکانامیسین، واکنش PCR انجام شد. نتیجه این آزمایش وجود قطعه ۱۴۳۲ جفت



شکل ۵- کشت برگ‌های لپه‌ای ۵ روزه کلزا پس از تراریختی بر روی محیط گزینش‌گر القاء نوساقه (الف) و تولید نوساقه سبز در بعضی از کوتیلدون‌ها (ب).



شکل ۶- نوساقه تراریخت کلزا در محیط طویل‌شدن. شرایط محیط انتخابی ۱ است. (الف): نمونه‌ای از نوساقه طویل‌شده تراریخت در محیط حاوی کانامایسین (۲۵ میلی‌گرم در لیتر) و (ب): مقایسه نوساقه تراریخت، سبز، و غیرتراریخت، سفید، روی محیط کشت حاوی کانامایسین.

SacI هضم شد. با توجه به وجود جایگاه برشی این آنزیم در محصول تکثیر شده همان گونه که انتظار می‌رفت پس از هضم آنزیمی دو قطعه به طول ۲۳۸ و ۷۵۸ جفت بازی تولید شد (داده‌های مربوط به هضم آنزیمی به نمایش در نیامده است).

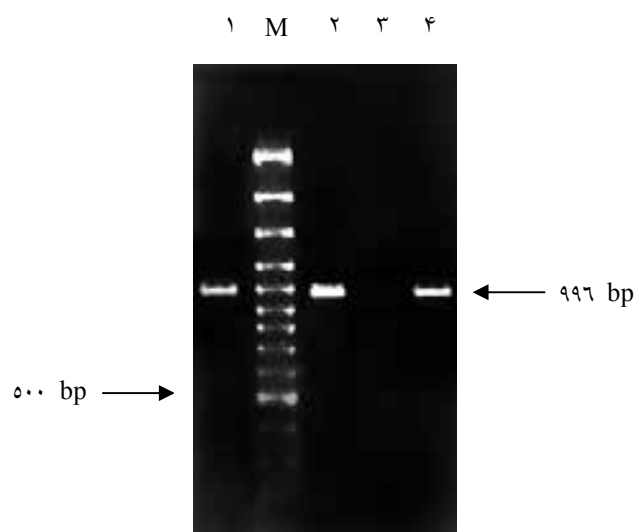
نتایج لکه گذاری نقطه‌ای با توجه به اتصال کاوشگر به نسخه یا نسخه‌های ژن منتقل شده به گیاه بیانگر انتقال موفق سازه به گیاهان مورد بررسی می‌باشد (شکل ۸). با

PCR حاصل از DNA ژنومی این گیاهان با آغازگرهایی که از داخل ژن *fae* (آغازگر S1) و بخشی از خاتمه دهنده *Nos* (آغازگر N2) طراحی شده بود باعث تکثیر قطعه ۹۹۶ جفت بازی گردد که در گیاهان تراریخت قابل تشخیص بود. اگرچه گیاهان شاهد دارای ژن *FAE* هستند ولی چون فاقد توالی خاتمه دهنده *Nos* می‌باشند امکان تکثیر قطعه مذکور در آنها وجود نخواهد داشت (شکل ۷). جهت تأیید محصول PCR، قطعه حاصله توسط آنزیم

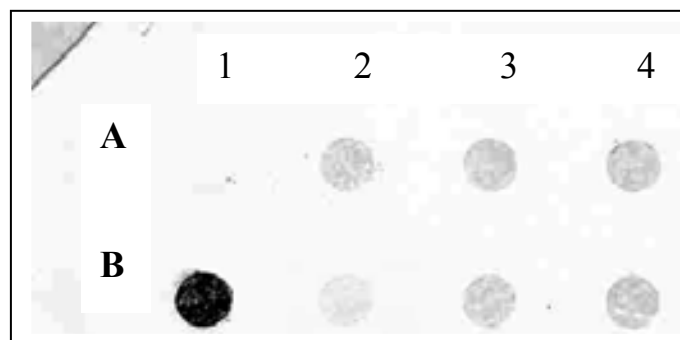
در این شرایط در آزمون بلاط، زمینه غشاء به صورت تیره مشاهده گردید که با اعمال شرایط سخت (High stringency) نظیر کاهش در غلظت بافرهای شستشو (SDS 0.5X و 0.1%) و بالا بردن دمای هیبریداسیون تا ۶۹ درجه سانتی گراد، زمینه حذف گردید.

نتایج هیبریداسیون سادرن با دقت بیشتری نشان داد که سازه مورد نظر، با موفقیت منتقل شده است و در برخی از گیاهان تعداد کمی ژن منتقل شده بیش از یک نسخه می‌باشد. وجود باندهای حدود ۲۰۰۰ و ۳۵۰۰ جفت بازی که در کلیه نمونه‌ها دیده می‌شود به دلیل اتصال کاوشگر با ژنهای درونی *fae* می‌باشد (شکل ۹). این یافته نشان میدهد که از ژن مورد مطالعه حداقل ۲ نسخه در گیاه وجود دارد. بارت و همکاران، ۱۹۹۸ نشان دادند زمانی که از آنزیم *EcoRV* و کاوشگر ساخته شده از روی ژن *fae* جهت لکه گذاری سادرن در ارقام کلزا استفاده می‌شود(۵)، دو باند با اندازه‌های فوق قابل تشخیص است که بیانگر وجود دو کمی از ژن در ژنوم می‌باشد. از طرفی زمانی که از آنزیم *XbaI* برای هضم آنزیمی DNA کروموزومal استفاده شد یک باند به اندازه تقریبی ۹۰۰۰ جفت بازی مشخص گردید.

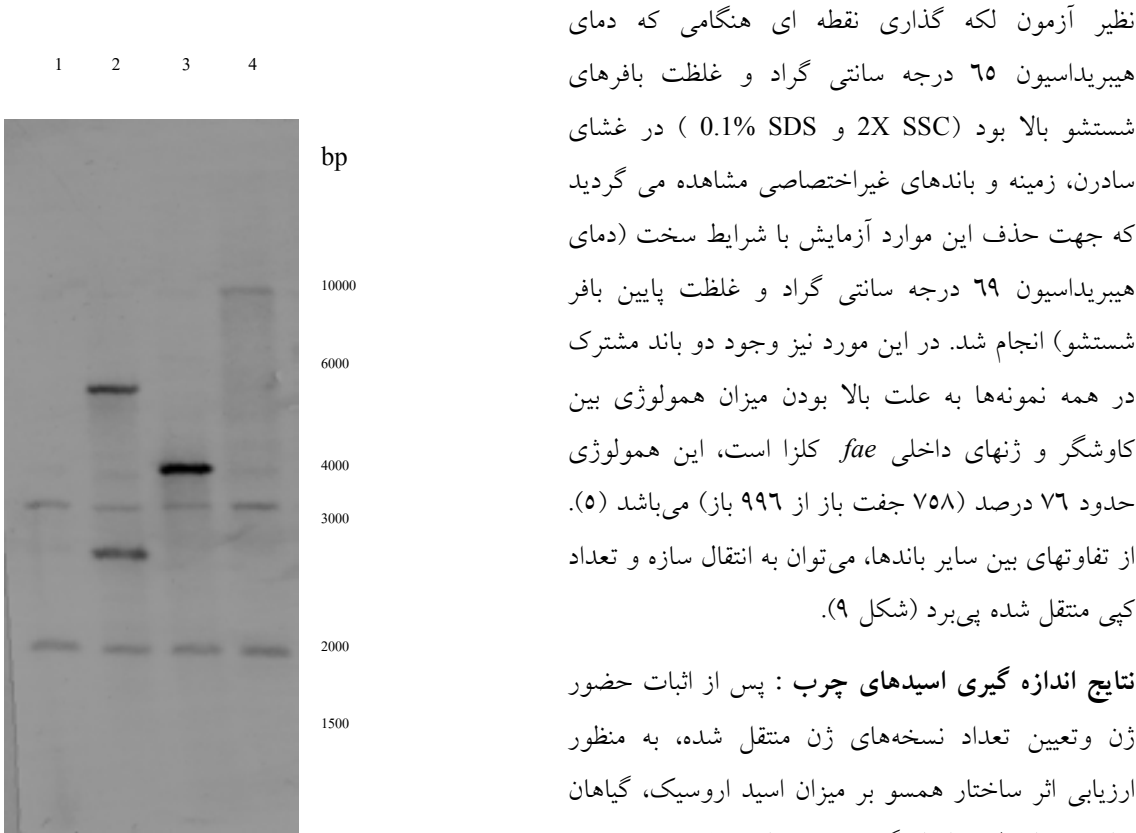
توجه به اینکه کاوشگر تهیه شده حدود ۷۵۸ جفت باز با ژن *fae* شباهت دارد لذا کاملاً طبیعی است که در گیاهان معمولی نیز لکه‌هایی (کمرنگ تر) مشاهده گردد. در شرایط اولیه انجام لکه‌گذاری نقطه‌ای، دمای هیبریداسیون ۶۴ درجه سانتی گراد و غلظت بافرهای شتیشوا بالا بود (۰.۱% SDS و 2X SSC).



شکل ۷ - اثبات حضور ژن *fae* در حالت همسو از طریق آزمون PCR با آغازگرهای S1 و N2. خطوط ۱، ۲ و ۴: گیاهان تراریخت (باند ۹۹۶ جفت بازی). خط ۳ کنترل منفی (گیاه غیر تراریخت). خط M: مارکر مولکولی ۱۰۰ جفت بازی.



شکل ۸- لکه‌گذاری نقطه‌ای سازه همسو ژن *fae* یا کاوشگر ۹۶۶ جفت بازی. نقطه ۱: کنترل مثبت، پلاسمید pBI121 حاوی سازه، نقطه ۲: کنترل منفی، گیاه شاهد غیرتراریخت. بقیه نقاط مربوط به DNA استخراج شده از گیاهان تراریخت می‌باشد.



شکل ۹- الگوی هیبریداسیون سادرن گیاهان تاریخت با سازه همسو ژن *fae*. چاهک ۱: گیاه شاهد (باندهای ۲۰۰۰ و ۳۵۰۰ جفت بازی) چاهکهای ۲، ۳ و ۴ گیاهان تاریخت شده با ساختار همسو. از طرف دیگر دو گیاه تاریخت با ساختار همسو (نمونه‌های شماره ۵ و ۶ در جدول ۱) به جای افزایش در میزان اسید اروسیک، کاهش نشان دادند. این امر را می‌توان به خاموش شدن ژن *fae* در اثر تشابه با سازه منتقل شده دانست (همفرونشانی). گزارشات متعدد توسط محققین در خصوص همفرونشانی سایر ژنهای مؤثر در بیوستز اسیدهای چرب وجود دارد (۱۴، ۱۹، ۲۳ و ۳۹).

نظیر آزمون لکه گذاری نقطه‌ای هنگامی که دمای هیبریداسیون ۶۵ درجه سانتی گراد و غلظت بافرهای شستشو بالا بود (۰.۱٪ SDS و ۲X SSC) در غشای سادرن، زمینه و باندهای غیراختصاصی مشاهده می‌گردید که جهت حذف این موارد آزمایش با شرایط سخت (دمای هیبریداسیون ۶۹ درجه سانتی گراد و غلظت پایین بافر شستشو) انجام شد. در این مورد نیز وجود دو باند مشترک در همه نمونه‌ها به علت بالا بودن میزان همولوژی بین کاوشگر و ژنهای داخلی *fae* کلزا است، این همولوژی حدود ۷۶ درصد (۷۵۸ جفت باز از ۹۹۶ باز) می‌باشد (۵). از تفاوت‌های بین سایر باندها، می‌توان به انتقال سازه و تعداد کپی منتقل شده پی‌برد (شکل ۹).

نتایج اندازه گیری اسیدهای چرب : پس از اثبات حضور ژن و تعیین تعداد نسخه‌های ژن منتقل شده، به منظور ارزیابی اثر ساختار همسو بر میزان اسید اروسیک، گیاهان تاریخت از طریق اندازه گیری درصد اسیدهای چرب روغن دانه توسط کروماتوگرافی گازی مورد بررسی قرار گرفتند. نتایج به دست آمده نشان داد که سازه منتقل شده به گیاهان توانسته است میزان این اسید چرب را تغییر دهد. از ۱۵ گیاه تاریخت که حاوی ساختار همسو بودند تعداد ۴ گیاه افزایش در میزان اسید اروسیک را نشان دادند به عبارتی حدود ۲۶ درصد از گیاهان ژن *fae* منتقل شده را بیان کرده‌اند. میزان اسید اروسیک در نمونه‌های شاهد حدود ۱/۱ درصد بود در صورتی که در ۴ گیاه تاریخت افزایش چشمگیری به شرح جدول ۱ مشاهده گردید.

جدول ۲- تست *t* برای رقم PF حاوی ساختار همسو ژن *fae*

اسید چرب	میانگین دارای ساختار	میانگین شاهد	آماره محاسبه شده <i>t</i>
C22:1	۵/۸۵	۱/۱	۲/۳۷**
C18:2	۱۸/۱۴	۲۰/۱۳	۵/۳**
C18:0	۱/۶۸	۱/۶۷	۱۹/۲**

جدول ۱ - آنالیز ترکیب اسیدهای چرب بذور کلزای تاریخت با ساختار همسو ژن *fae* تحت کنترل راهانداز اختصاصی

C22:1	C20:1	C18:3	C18:2	C18:1	C18:0	C16:1	درصد اسیدچرب*		نمونه
							شاهد	۱	
۱/۱	۱/۴	۱۱/۵	۲۰/۱	۵۸/۸	۱/۶	۴/۸			
۱۰/۰	۲/۳	۱۰/۷	۱۸/۱	۴۹/۳	۱/۶	۴/۱			
۹/۳	۳/۰	۱۰/۵	۱۸/۶	۵۰/۰	۱/۶	۴/۳			
۷/۰	۲/۵	۹/۲	۱۷/۶	۵۲/۱	۱/۸	۴/۷			
۱۳/۱	۲/۷	۹/۷	۱۷/۲	۵۱/۱	۱/۸	۴/۶			
۰/۲۴	۱/۲	۷/۹	۱۷/۷	۶۲/۹	۲/۰	۴/۳			
۰/۲۰	۱/۱	۸/۵	۱۷/۶	۶۵/۱	۱/۲	۴/۹			

*: C16:1؛ (لینولئیک اسید) C18:2؛ (اوئیک اسید) C18:0؛ (استاریک اسید) C18:1؛ (پالمیتوئیک اسید) ۱

(اروسیک اسید) C22:1؛ (گوندوئیک اسید) C20:1؛ (لینولنیک اسید) C18:3α

عمومی تر اقدام به جداسازی این ترادف از منابع مختلف نمود.

با توجه به اینکه عملکرد این ژن در داخل بذر و در مرحله توسعه جنین است، لذا باید به گونه‌ای عمل کرد که ژن هدف به طور اختصاصی در بافت مورد نظر (بذر) بیان شود. به همین منظور همسانه‌سازی راهانداز اختصاصی *fae* صورت گرفت تا با استفاده از این توالی، بیان ساختار مورد نظر تنها در بذور کلزا صورت گیرد. علاوه بر آن چنانچه بتوان با استفاده از این راهانداز اختصاصی ژن را در بافت مورد نظر بیان و یا غیرفعال (خاموش) نمود در این صورت انتظار می‌رود بدون اثر بر بیان آن در سایر بافت‌های گیاه، شاهد بیان بیشتر یا خاموش شدن ژن *fae* فقط در بذور بود. گزارشات مختلفی در رابطه با عملکرد اختصاصی راهانداز *fae* در بذر وجود دارد (۵، ۱۵ و ۳۳). هان و همکاران (۲۰۰۲) با بررسی گیاهان تاریخت که حامل ژن گزارشگر *gus* تحت کنترل راهانداز *fae* بود، نشان دادند که فعالیت این ژن فقط در بذور درحال توسعه گیاهان کلزای تاریخت قابل تشخیص است (۱۵).

در خصوص مصرف کانامايسین در محیط انتخاب برای کلزا تاریخت گزارشات متعددی وجود دارد که در بسیاری از این گزارشات مقدار ۲۵ میلی‌گرم در لیتر توصیه شده است (۲۶، ۳۴ و ۴۵). در سال ۱۹۹۲، موکوپادیا و

بحث

بررسیهای انجام شده توسط برخی محققین نشان داده است که ژن *fae* قادر توالیهای ایتریونی می‌باشد (۸، ۱۵ و ۴۴)، با استناد به نتایج این محققین ژن مورد با روش PCR و طراحی آغازگر اختصاصی از منع ژنومی جداسازی گردید. در صورت وجود ایترون در ژن لازم بود ابتدا کتابخانه cDNA تهیه و سپس اقدام به جدا سازی ژن مذکور از کتابخانه گردد. ژن *fae* توسط داس و همکاران از گونه‌های *B. oleracea* و *B. campesris* شناسایی و همسانه‌سازی شده است. محصول این ژن آنزمی به نام KCS می‌باشد (۸). همچنین توالی این ژن در گیاه آرابیدوپسیس (۱۸) و جوجوبا (۲۱) نیز گزارش شده است. بارت و همکاران، ۱۹۹۸ نیز دو توالی همولوگ برای ژن *fae* از جنینهای نارس کلزا جداسازی نمودند (۵). علاوه بر آن هان و همکاران (۲۰۰۱) توالی ژن *fae* و راهانداز آن را (به ترتیب با شماره دسترسی AF274750 و AF275254) گزارش نمودند که از کامل ترین ترادف‌های ارائه شده است (۱۵). فورمن و همکاران نیز ترادف ناقص این ژن را در گونه *B. rapa* گزارش نمودند (۱۱). در مطالعه فوق تعداد ۵۰۴ نوکلوتید از ژن شناسایی و گزارش شده بود. مقایسه این ترادفها نشان داد که میزان حفاظت شدگی در آنها بسیار زیاد است و می‌توان با طراحی پرایمر

rhizogenes) و حتی سوش مورد استفاده در یک گونه می‌دانند (۷). محققین مختلف تعداد نسخه‌های ژن انتقال یافته را بین ۱ تا ۲۰ مورد نیز گزارش نموده‌اند (۶، ۲۵، ۳۶ و ۴۳). در تحقیق حاضر نیز تعداد نسخه‌های ساختار منتقل شده بین ۱ تا ۲ نسخه می‌باشد که با نتایج به دست آمده توسط سایر محققان مطابقت دارد.

نتایج کروماتوگرافی گازی روغن دانه گیاهان تاریخت نسل T_0 ، تغییر در میزان اسیدهای چرب آنها را نشان داد (جدول ۱). با استفاده از آزمون t مشخص گردید (جدول ۲) که مقدار تغییر در اسیدهای چرب $C18:2:1$ ، $C22:1$ ، $C18:2$ و $C18:0$ نسبت به شاهد معنی دار بوده و ساختار انتقال یافته با موقیت توانسته باعث تغییر معنی دار در این اسیدهای- چرب گردد. نتایج نشان داد که دستورالعمل مسیرهای بیوستز اسیدهای چرب در گیاه کلزا امکان پذیر بوده و می‌توان با تغییر در ترکیب این مواد در دانه های روغنی، کاربردهای متنوعی را برای آنها در نظر گرفت.

تشکر و قدردانی: بدین وسیله از مساعدتهای فکری و مالی کلیه عزیزان در پژوهشگاه ملی مهندسی ژنتیک و زیست فناوری و دانشکده کشاورزی دانشگاه تربیت مدرس تقدیر و سپاسگزاری به عمل می آید.

همکاران مقدار ۵۰ میلی‌گرم در لیتر و زانگ و همکاران (۱۹۹۹) مقدار ۲۵ میلی‌گرم در لیتر کانامايسین را برای انتخاب تاریختها استفاده نمودند. در این گزارشات تعداد زیادی از نوساقه‌های سبز نیز روی محیط انتخابی مشاهده شد که تاریخت نبودند. برای رفع این مشکل نوساقه‌های باززایی شده به محیط حاوی کانامايسین بیشتر (۵۰ میلی‌گرم در لیتر) و کربوهیدرات کمتر منتقل نمودند که در نتیجه بعد از ۲ هفته نوساقه‌های غیرتاریخت، سفید و نکروزه شدن (۴۵ و ۴۷٪). در این تحقیق از استراتژی چند مرحله‌ای برای افزودن ماده انتخاب کننده استفاده شد. در مرحله اول غلاظت ۱۰ میلی‌گرم در لیتر کانامايسین استفاده گردید. در مرحله بعد گیاهچه‌های کوچک به محیط با میزان بالاتر آتنی بیوتیک کانامايسین (۲۵ میلی‌گرم در لیتر) منتقل گردیدند. در این حالت فشار محیطی (غلاظت کانامايسین) به قدری است که قادر است سلولهای غیرتاریخت نامطلوب را به راحتی از بین برد (شکل ۶ ب).

تجزیه لکه گذاری سادرن علاوه بر اثبات حضور ژن، تعداد نسخه‌های منتقل شده را نیز نشان داد. در تحقیق حاضر بین ۱ الی ۲ نسخه از ساختار به گیاهان تاریخت منتقل شده است. تعداد نسخه‌های ژن وارد شده، ارتباط نزدیکی با روش انتقال ژن دارد. در روش استفاده از اگروباکتریوم، گزارش‌های متنوعی در ارتباط با تعداد نسخه‌های ژن وارد شده به گیاه وجود دارد. بعضی از محققین تعداد ژن وارد شده را وابسته به گونه اگروباکتریوم (*tumefaciens*) یا

منابع

۱. ابراهیم‌زاده، ح. (۱۳۷۷). فیزیولوژی گیاهی ۶ (بیوشیمی ترکیبات اولیه). مؤسسه انتشارات و چاپ دانشگاه تهران. ص ۶۵۳.
۲. زیرجدی، ع.، جلالی جواران، م.، سلمانیان، ع.، کریم‌زاده، ق. و موسوی، ا. (۱۳۸۵). جداسازی و تهیه ساختار Antisense ژن
۳. شریعتی، ش و قاضی شهری زاده، پ. (۱۳۷۹). کلزا. وزارت جهاد کشاورزی، نشر آموزش کشاورزی. ص ۸۰
۴. Auld, D. L., Heikkinem, M. K., Erickson, D. A., Sernyk, J. L. and Romero, J. E. (1992). Rapeseed mutants with reduced levels of polyunsaturated fatty acids and increased levels of oleic acid. *Crop Science*, 32: 657-662.

6. Berthomieu, P., Beilin, C., Charlot, F., Dore, C. and Jouranin, L. (1994). Routine transformation of rapid cycling cabbage (*Brassica oleracea*)-molecular evidence for regeneration of chimeras. *Plant Sci.* 96: 223-235.
7. Bhalla, P. L. and Smith, N. (1998). *Agrobacterium tumefaciens*-mediated transformation of cauliflower, *Brassica oleracea* var. *botrytis*. *Molecular breeding*. 4: 531-541.
8. Das, S., Roacoe, T.J., Delseny, M., Srivastava, P.S. and Lakscemikumaran, M. (2002). Cloning and molecular characterization of the Fatty Acid Elongase 1 (FAE1) gene from high and low erucic acid lines of *Brassica campestris* and *Brassica oleracea*. *Plant Sci.* 162: 245-250.
9. Doweny, R.K., and Robbelie, G. (1989). *Brassica* species. In: Robbelien, G., Doweny, R.K., and Ashri, A. (eds) *Oil Crops of the World*. McGraw-Hill, New York. Pp: 339-362.
10. Dolye, J. J. and Dolye, J. L. (1990). Isolation of plant DNA from fresh tissue. *Focus*. 12: 13-15.
11. Fourmann, M., Barret, P., Rendar, M., Pelletier, G., Delourme, R. and Brunel, D. (1998). The two genes homologous to *Arabidopsis* FAE1 cosegregate with the two loci governing erucic acid content in *Brassica napus*. *Theor. Appl. Gen.* 96: 852-858.
12. Gopalan, G. D., Krisnamurthy, D., Shenolikar, I. S. and Krisnamuethy, K. A. V. R. (1974). Myocardial changes in monkeys fed on mustard oil. *Nutr. Metab.* 16: 352-365.
13. Gura, T. (2000). A silence that speaks volumes. *Nature*, 404: 804-808.
14. Hamilton, A. J., Fray, R. G., and Grierson, D. (1995). Sense and antisense inactivation of fruit ripening in tomato. *Curr Top Immuno Microbiol Immunol.*, 197: 77-89.
15. Han, J., Lush, W., Sonntag, K., Zahringer, U., Borchardt, S. D., Wolter, F. P., Heinz, E. and Frentzen, M. (2001). Functional characterization of β -ketoacyl-CoA synthase genes from *Brassica napus* L. *Plant Mol. Biol.* 46: 229-239.
16. Harwood, J. L. (1988). Fatty acid metabolism. *Annual Review of Plant Physiology and Plant Mol. Biol.* 39: 101-188.
17. Harwood, J. L. (1996). Recent advances in the biosynthesis of plant fatty acids. *Biochimica et Biophysica Acta*. 1301: 7-56.
18. James, D. W., Keller, L. E., Plooy, I. and Donner, H. K. (1995). Directed tagging of the *Arabidopsis* fatty acid elongation 1 (FAE1) gene with the maize transposon activator. *Plant Cell*. 7: 309-319.
19. Kinney, A. J. (1998). Plants as industrial chemical factories-new oils from genetically engineered soybeans. *Fett/Lipid*, 100: 173-176.
20. Kooter, J. M., Matzke, M. A. and Meyer, P. (2000). Listening to the silent genes: transgene silencing, gene regulation and pathogene control. *Trends Plant Science*, 4: 340-347.
21. Lassner, M. W., Lardizabel, K. and Metz, J.G. (1996). A Jojoba β -ketoacyl - CoA synthase cDNA complements the Canola fatty acid elongation mutation in transgenic plants. *Plant Cell*. 8: 281-292.
22. Lopez Alonso, D. and Garcia Maroto, F. (2000). Plant as “chemical factories” for the production of polyunsaturated fatty acids. *Biotechnology Advances*, 18: 481-497.
23. Matzke, M. A. and Matzke, A. J. K. (1995). How and why do plants inactivate homologous (trans)genes? *Plant Physiology*, 107: 679-685.
24. Metcalf, L. C., Schmitz, A. A. and Pelka, J. R. (1966). Rapid preparation of methyl esters from lipid for gas chromatography analysis. *Analytical Chemistry*. 38: 514-515.
25. Metz, T. D., Dixit, R. and Earle, E. D. (1995). *Agrobacterium tumefaciens* mediated transformation of broccoli (*Brassica oleracea* var. *italica*) and cabbage (*B. oleracea* var. *capitata*). *Plant Cell Rep.* 15: 287-292.
26. Moloney, M.M., Walker, J. and Sharma, K. (1989). High efficiency transformation of *Brassica napus* using *Agrobacterium* vectors. *Plant Cell Reports*, 8: 238-242.
27. Mukhopadhyay, A., Arumugam, N., Nandakumar, P. B. A., Pradhan, A. K., Gupta, V. and Pental, D. (1992). Agrobacterium-mediated genetic transformation of oilseed *Brassica campestris*: Transformation frequency is strongly influenced by the mode of shoot regeneration. *Plant Cell Rep.*, 11: 506-513.
28. Murphy, D. J. (1995). The use of conventional and molecular genetics to produce new diversity in seed oil composition for the use of plant breeders – progress, problems and future prospects. *Euphytica*. 85: 433-440.
29. Murphy, I. S. and Sonntag, J. G. (1991). Erucic, behenic: feedstocks of the 21st century. *Inform*. 2: 449-463.
30. O'Brien, P. (1994). Lecture Notes, Laboratory manual. Molecular Biology 1 N305, Section2, 17-20.

31. Parks, L. C. (1993). "Hand Book of Microbiological Media". 2nd edition, Ch.2: 120-122.
32. Princen, L. H. and Rothfus, J. A. (1984). Development of new crops for industrial raw materials. *Journal of American Oil Chemistry Society*. 61: 281-289.
33. Puyaubert, J., Garbay, B., Costaglioli, P., Dieryck, W., Roscoe, T. J., Rendard, M., Cassagne, C. and Lessire, R. (2001). Acyl-CoA elongase expression during seed development in *Brassica napus*. *Biochimica et Biophysica Acta (BBA)*. 1533: 141-152.
34. Radke, S. E., Turner, J. C. and Faccitti, C. (1992). Transformation and regeneration of *Brassica rapa* using *Agrobacterium tumefaciens*. *Plant Cell Rep*, 11: 499-505.
35. Sambrook, J. and Russell, D. W. (2001). Molecular Cloning. A Laboratory manual. 3rd Edition. Cold Spring Harhor Press. New York.
36. Schroder, M., Dixelius, C., Rahlen, I. and Glimlus, K. (1994). Transformation of *Brassica napus* dy using the add A gene as selectable marker and inheritance studies of the marker gene. *Physiologyia Plantarum*, 92: 37-46.
37. Somerville, C. and Browse, J. (1991). Plant lipids: metabolism, mutants and memberanes. *Science*. 252: 80-87.
38. Stam, M., and De Bruin, R., Van Blokland, R., Vander Hoorn, R. A. L., Mol, J. N. M. and Kooter, J. M. (2000). Distinct features of post-transcriptional gene silencing by antisense transgenes in single copy and inverted T-DNA repeat loci. *Plant Journal*, 21: 27-42.
39. Stoutjesdijk, P. A., Hurlestone, C., Singh, S. P. and Green, A. G. (2000). High – oleic acid Australian *Brassica napus* and *B. juncea* varieties produced by co-suppression of endogenous Δ 12 – desaturases. *Biochemical Society Transactions*, 28: 938-940.
40. Todd, J., Post-Beittenmiller, D. and Jarowski, J. G. (1999). KCS encodes a fatty acid elongase 3-ketoacyl-CoA synthase affecting wax biosynthesis in *Arabidopsis thaliana*, *Plant Journal*. 17: 119-130.
41. Tofer, R., Martini, N. and Schell, J. (1995). Modification of plant lipid synthesis. *Science*. 268: 681-686.
42. Von Wettstein-Knowles, P. M. (1993). Waxes, cutin and suberin, in: T.S. Moore Jr (Ed.), *Lipid metabolism in plants*, CRC Press, Boca Raton. pp. 127-166.
43. Wang, H. Y., Li, Y. F., Xie, L. X and Xu, P. (2003). Expression of bacterial aroA mutant, aroA-M1, encoding 5-enolpyruvylshikimate 3-phosphate synthase for the production of glyphosate-resistant tobacco plants. *Journal of Plant Research*. 116: 455-460.
44. Zebarjadi, A. R. , Jalali Javaran, M., Karimzadeh, Gh., Moeini,A., Mousavi,A., and Salmanian, A.H., (2006). Transformation of rapeseed (*Brassica napus* L.) plants with sense and antisense constructs of the fatty acid elongase gene. *Iranian Journal of Biotechnology*, Vol. 4, No. 2, April .
45. Zhang, Y., Singh, M. B. and Bhalla, P. L. (1999). Genetic transformation of Australian cultivars of oil seed rape (*Brassica napus* L.). New Horizos for an old crop. Proceeding of 10th International Rapeseed Congress, Canberra, Australia.

Cloning and Characterization of Responsible Gene for Erucic Acid Biosynthesis in *Brassica napus*

Zebarjadi A.R^{1,2}, Jalali Javaran M.³, Salmanian A.H.⁴ and Karimzadeh G.³

¹ Agronomy and Plant Breeding Dept., Faculty of Agriculture, Razi Univ., Kermanshah, I.R. of IRAN

² Research Institute of Biotechnology for Environmental Stress, Razi Univ., Kermanshah, I.R. of IRAN

³ Plant Breeding Dept., Faculty of Agriculture, Tarbiat Modares Univ., Tehran, I.R. of IRAN

⁴ National Institute of Genetic Engineering and Biotechnology (NIGEB), Tehran, I.R. of IRAN

Abstract

The *Brassica* genus classified into two basic groups: High erucic acid rapeseed (HEAR) and Low erucic acid rapeseed (LEAR). Oils having high levels of erucic acid have found widespread applications for non-edible purposes and oils with low levels of erucic acid have used for edible purposes. In this study, the gene and its promoter of β -ketoacyl-CoA synthase (KCS) enzyme that responsible for erucic acid biosynthesis were isolated and their effect was investigated on rate of erucic acid content of transgenic canola. Specific primers were used to amplify *fae* gene and its specific promoter from genomic DNA by PCR technique. The putative gene and promoter from *B. napus* were cloned into pSK⁺ vector and sequenced in both directions. Sense construct from *fae* gene and its promoter cloned into a plant expression vector, pBI121. Recombinant vector transferred to rapeseed plant via *Agrobacterium*-mediated transformation method. Presence of gene construct in transgenic plants was confirmed with PCR, dot blot and Southern blotting analyses. Finally the transgene function and its effect on erucic acid content were measured with gas chromatography in transgenic and control plants. Four putative transgenic plants were shown an increase in erucic acid level. Maximum of increasing was observed in one sample (No. 4) with 13% C22:1 in comparison with 1.1% in control plant.

Keywords: *Brassica*; *fae* Gene cloning; Canola transformation; Erucic acid; KCS enzyme